Síntese e Caracterização de Aminonaftoquinonas contendo Cumarina

Mikaelly O. B. de Sousa (IC)*, Gleiciani de Q. Silveira (PG),

Maria D. Vargas (PQ), Célia M. Ronconi (PQ)

mikaellysousa@id.uff.br

Instituto de Química, Universidade Federal Fluminense, Campus do Valonguinho, 24020-150, Niterói-RJ.

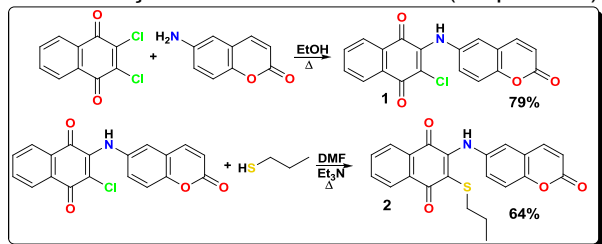
Palavras Chave: aminonaftoquinonas, cumarina, atividade biológica

Introdução

As aminonaftoquinonas apresentam atividade antitumoral^{1,2}, antimalárica³, tripanocida⁴ e moluscicida⁵. As cumarinas e seus derivados também possuem diversas atividades biológicas (antioxidante, bactericida, anticancer⁶ e antiviral⁷). Muitas delas são também fluorescentes. O objetivo deste trabalho foi obter derivados contendo os núcleos naftoquinônico e cumarinico para avaliação de suas atividades antitumoral e antiviral.

Resultados e Discussão

As novas aminonaftoquinonas 1 e 2 foram obtidas via substituição nucleofílica aromática (Esquema 1).



Esquema 1. Síntese dos derivados 1 e 2.

Os compostos 1 e 2 foram caracterizados por espectroscopia RMN ¹H, IV, UV-Vis, fluorescência, AE e voltametria cíclica. O espectro de RMN ¹H de 1 (DMSO- d^6 , 300 MHz) exibe sinais de δ 8,2 a 7,9, característicos dos hidrogênios do anel naftoquinônico, e em δ 7,6-6,5 e 8,1, relativos aos demais hidrogênios aromáticos. O espectro de RMN ¹H de 2 (CD₃CN, 500 MHz) mostrou perfil similar, além dos sinais referentes à cadeia alifática em δ 2,55; 1,40 e 0,85. Os espectros IV apresentam as bandas $\upsilon_{\text{N-H}}$ $(3294 \text{ cm}^{-1}) \text{ e } \upsilon_{C=O} \text{ (1672 e 1720 cm}^{-1}) \text{ (1)}; \text{ e } \upsilon_{N-H}$ (3330 cm^{-1}) e $v_{C=0}$ (1659 e 1722 cm⁻¹), além da banda υ_{C-H} (2957 cm⁻¹) da cadeia alifática (2). O espectro UV-Vis de 2 em CH₃CN mostra um deslocamento das bandas para a região do visível quando comparado ao do precursor 1 (Tabela 1).

Tabela 1. Dados de espectroscopia na região do UV-Vis dos compostos **1** e **2**, em CH₃CN.

	λ ₁	Log	λ2	Log	λ3	Log
	(nm)	ε ₁	(nm)	ε2	(nm)	E ₃
1	277	4,097	333	3,283	468	3,096
2	281	4,197	348	3,365	500	3,200

A espectroscopia de fluorescência de **1** mostrou que a ligação à naftoquinona não alterou 35ª Reunião Anual da Sociedade Brasileira de Química

significativamente as propriedades fluorescentes da aminocumarina. Contudo, a presença da cadeia tioalquílica no lugar do cloro na posição 3 do anel levou à drástica redução da intensidade da fluorescência (95 %) (Figura 1).

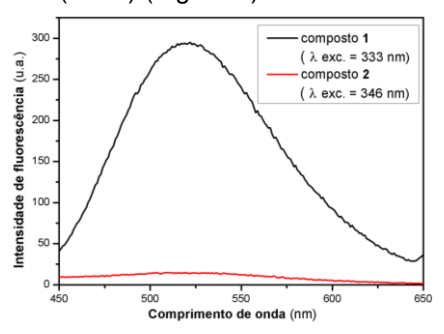


Figura 1. Espectros de fluorescência de **1** e **2** em CH_3CN (5 x 10^{-5} mol/L).

Os VC dos compostos 1 e 2 (em CH₃CN+0,1 mol.L⁻¹ Bu₄NClO₄, eletrodo de carbono vítreo vs Ag/AgCl/0,1 mol.L⁻¹, no sentido anódico, em u = 25-500 mV/s) são semelhantes e exibem dois pares de ondas atribuídos aos processos redox naftoquinona-semiquinona (Ic e Ia) e semi-quinona-catecol (IIc e IIa). Os valores dos potenciais observados para 2 (-1,4965 V e -1,096 V) foram menores que para 1 (-1,4615 V e -1,015 V) indicando que a incorporação do grupo tioaquil à naftoquinona tornou mais difícil a redução das carbonilas, uma vez que o enxofre doa densidade eletrônica ao núcleo naftoquinônico.

Conclusões

A substituição do átomo de cloro na posição 3 da naftoquinona pelo grupo tioalquil resultou em acentuada redução da propriedade fluorescente do núcleo cumarínico. Estudos estão em andamento para compreensão do fenômeno. Os compostos estão sendo avaliados quanto à atividade biológica.

Agradecimentos

FAPERJ (bolsa G.Q.S.), CAPES, PRONEX e PIBIC-CNPq (bolsa M.O.B. S)

1. Lin, T.-S. et al. J. Med. Chem. 1989, 32, 1647; 2. Cunha, A. S. et al. J. Braz. Chem. Soc. 2006, 17, 439; 3. Lin, T. S. et al. J. Med. Chem. 1991, 34, 1634; 4. Salmon-Chemin, L. et al. J. Med. Chem. 2001, 44, 548; 5. (a) Silva, M. S. et al. Bioorg. Med. Chem. 2005, 13, 193. (b) Barbosa, T. P. et al. Bioorg. Med. Chem. 2005, 13, 6464; 6. Jing, L. et al. Spectrochimica Acta Part A, 2012, 88, 31; 7. N. Hamdi et al. C. R. Chimie, 2011, 14, 548.